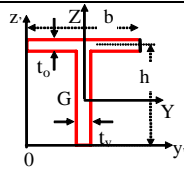
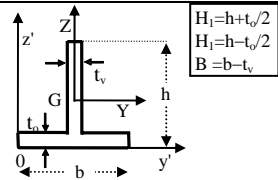


Pag.	Riga o Formula	Errata	Corrige
7	Ultima	... menopausa	... mesopausa
16	2° riga	... di lancio con	... di lancio come
17	Ultima della Nota	... si ha un massimo di 1.135 W/m ² si ha un massimo di 1,135 W/m ² .
24	4° riga dal basso	... e fruttando i progressi e sfruttando i progressi ...
26	Ultima riga di A2)	... variazioni di spinta, variazioni graduali di spinta, ...
43	Formula (4.6)	$\dots \Rightarrow C_L = \sqrt{\frac{2n_{Max} W/S}{\rho_0 V_{Max}^2}}$	$\dots \Rightarrow C_L = \frac{2n_{Max} W/S}{\rho_0 V_{Max}^2}$
44	Formula (4.7)	$\dots \Rightarrow C_L = -\sqrt{\frac{2\ n\ _{Min} W/S}{\rho_0 V_{Max}^2}}$	$\dots \Rightarrow C_L = -\frac{2\ n\ _{Min} W/S}{\rho_0 V_{Max}^2}$
56	6° riga	... parte è rischiato parte è richiesto ...
79	4° dal basso	... visione lagrangiana , visione euleriana , ...
79	4° dal basso	... visione euleriana , visione lagrangiana , ...
93	4° dal basso	... si ha un sistema il sistema nelle si ha un sistema nelle ...
111	Formula (4.7.1)	+ $\rho b_x dx dy dz =$	+ $b_x dx dy dz =$
146	Ultima riga	... laplaciano (quadrato) tridim ans ionale.	... laplaciano (quadrato) tridim ens ionale.
160	Formula (4.1.4)	$\nabla^4 \Phi = -\frac{1}{1-\nu} \nabla^2 \Psi$	$\nabla^4 \Phi = -\frac{1-2\nu}{1-\nu} \nabla^2 \Psi$
160	Formula (4.1.5)	$\nabla^4 \Phi = -(1+\nu) \nabla^2 \Psi$	$\nabla^4 \Phi = -(1-\nu) \nabla^2 \Psi$
169	Grafico del cerchio Mohr	Le ordinate sono indicate positive sopra l'asse delle ascisse e negative sotto.	Le ordinate sono negative sopra l'asse delle ascisse e positive sotto.
190	Formula (4.4.2)	$\sigma_{Max} = 0C + R = 12$	$\sigma_{Max} = 0C + R = 1,2$
211	Formula (7.9.3)	$\bar{Q}_y = \frac{1}{A} \int_A z d\bar{A} ; \bar{Q}_z = \frac{1}{A} \int_A y d\bar{A}$	$\bar{Q}_y = \int_A z d\bar{A} ; \bar{Q}_z = \int_A y d\bar{A}$
212	Seconda riga	$b \gg h$, ...	$b \ll h$, ...
214	Seconda riga	di un elemento $b dx dy$	di un elemento $b dx dz$
222	Formula (9.4)	$\hat{M}_y(x) = \frac{M_y - M_z I_{yz}/I_x}{1 - I_{yz}^2/I_y I_z}$	$\hat{M}_y(x) = \frac{M_y - M_z I_{yz}/I_z}{1 - I_{yz}^2/I_y I_z}$
234	Riga prima di (2.7)	La (2.5).....	La (2.6).....
248	Ultima formula della pagina	$R_z = \dots = -\frac{T_z t}{4I_y} \int_{-h/2}^{h/2} (2z^2 - h^2) dz = \frac{T_z}{I_y} \frac{th^2}{12}$	$R_z = \dots = -\frac{T_z t}{4I_y} \int_{-h/2}^{h/2} (2z^2 - \frac{h^2}{2}) dz = \frac{T_z}{I_y} \frac{th^3}{12} = T_z$
261	Formula (6.11)	$d_{[CT]} = \int_0^{s_f} q(s) p^{(P)} ds$	$d_{[CT]} = \frac{1}{T_z} \int_0^{s_f} q(s) p^{(P)} ds$
370	8 riga	$w''(l) = 0 \Rightarrow d = -Q/2$	$w''(l) = 0 \Rightarrow d = -Q/12$
402	Fg. in linea a (14.3)	$T_S = -EI(d^2 w_S/dx^2) \quad T_D = -EI(d^2 w_D/dx^2)$	$T_S = -EI(d^3 w_S/dx^3) \quad T_D = -EI(d^3 w_D/dx^3)$
404	Formula (14.10)	$w(\xi) = \int_0^L q(\eta) G(\xi, \eta) d\eta$	$w(\xi) = L \int_0^1 q(\eta) G(\xi, \eta) d\eta$
405	In figura e formula	$\int_A^B q(\eta) G(\xi, \eta) d\eta$	$L \int_{\xi_A}^{\xi_B} q(\eta) G(\xi, \eta) d\eta$
442	8. Sezione T		
442	Ultima riga	$I_{yz} = -\frac{1}{2} htb^2$	$I_{yz} = +\frac{1}{2} htb^2$
443	11. Sezione L	$z'_G \cong \frac{b^2}{2(b+h)}$	$z'_G \cong \frac{h^2 + 2bh}{2(b+h)}$
443	12. Sezione L	$z'_G \cong 0,25b$	$z'_G \cong 0,75b$
444	17. Cerchio	$I_{y'} = I_{z'} = \pi R^3 t$	$I_{y'} = I_{z'} = 3\pi R^3 t$